

東北大学工学部 正員 工博 若崎敏夫  
 今 上 正員 沢田 孝  
 全 上 正員 長谷直樹

## 1. 緒言

福島県沿岸の暴浪による侵食は、ここ十数年来著しく、海岸線の後退および海岸防護施設の災害は大きな規模によくある。これらの災害に関する福島気象台および福島県土木部において災害事例の調査ならびに気象要因の研究のいたりがつけられていて、いまだ正確な原因の究明には至っていないようである。本報告は昭和34年以後の災害の概要を調査し、又、その代表的事例をとりあげて Wilson 法による波浪推算を試み、移動性低気圧による風域の形成とこれによる波浪の発達と吹送が、当海岸の災害時の高波の特性の一つであることを指摘したものである。

## 2. 福島海岸の災害状況

表-1. 福島海岸における災害記録

| 年月日      | 原 因<br>気圧速度 | 波高<br>m | 潮位<br>m | 被害地   | 年月日      | 原 因<br>気圧速度 | 波高<br>m | 潮位<br>m | 被害地         |
|----------|-------------|---------|---------|-------|----------|-------------|---------|---------|-------------|
| 34.4.26  | 低1004.36    | 3.8     | 102     | 山田浜   | 34.1.7   | 低 962.26    | —       | —       | 知波海岸<br>福島市 |
| 35.8.25  | 台-980.29    | 3.1     | 140     | 猪苗崎町  | 35.1.9   | 低 968.01    | 1.0     | 156     | 久の浜         |
| 35.10.21 | 台-980.31    | 4.7     | 140     | 四倉町   | 35.3.6   | 低 976.61    | 0.5     | 112     | 浪棚<br>江戸塙   |
| 36.4.6   | 低1000       | 1.5     | 93      | 仙浜    | 36.8.11  | 低 988       | 1.0     | 108     | 浪棚<br>江戸塙   |
| 36.8.7   | 台-1002      | —       | —       | 久の浜   | 36.10.4  | 台 980       | 3.1     | 110     | 猪苗崎町        |
| 36.10.28 | 台-970.58    | 3.0     | —       | 猪苗崎海岸 | 36.12.29 | 低 992       | 2.5     | 126     | 猪苗崎町        |
| 37.1.24  | 低           | 0.4     | 140     | 仙浜    | 37.3.8   | 低 966.39    | 1.4     | 20      | 久の浜<br>瀬戸の口 |
| 37.7.24  | 台 965       | —       | —       | 富岡町   | 37.12.22 | 低 992       | —       | 106     | 請子海岸        |
| 37.8.19  | 台 960       | —       | —       | 毛萱    | 38.1.17  | 低 966.39    | 2.0     | 103     | 請子海岸<br>四倉  |
| 37.11.30 | 低 996.40    | 0.8     | 142     | 山中野海岸 | 38.3.14  | 低 972.42    | 2.6     | 104     | 請子海岸<br>四倉  |
| 37.12.5  | 低 992.37    | 1.1     | 102     | 猪苗崎海岸 |          |             |         |         |             |

いま代表的な事例を表-1 の \*印のようすに選び、このときの低気圧または台風の経路を追跡すると図-1 となる。台風の場合には中心がかなり福島海岸に近づかない影響が現われない。しかし中心が沿岸に近づくと波浪は急激に発達してピークを示す。しかし本州南岸に見られるようすはピークの卓越は稀れである。<sup>3)</sup> 沿岸を通過した後は中心が東進するとともに波向は南側より順次北側に廻り比較的長時間にわたって余波が継続する。(たゞ年 10, 及び 40, 10) 低気圧の場合は冬期から早春にかけて多く現われ、黄海方面から発達しながら東進し、南東沖で北東あるいは東北東に転向する。ことに 150°E から 160°E にかけて 970<sup>mb</sup> 程度に異常に発達したものは強大な波浪を当沿岸に送り込む。したがいに北方定真 (39°N, 163°E) における冬季の平均波高は、約 3m のおり、他の日本沿岸の平均波高の 2 倍に近い。日本沿岸の低気圧の経路は一般に、このコースをたどる。また相ついで低気圧が通る場合は有効吹送距離が長大になつて長期間にわたり高波が本海岸に襲来する。これら相つ

ぐ低気圧の経路の組合せによっては、種々の方向からの波が同時に押し寄せることが考えられる。昭和40年3月の災害時にはこのような現象が起つたもののようにみえる。

### 3. 災害時の波浪条件の検討

当地方の南端の小名浜港と北端の相馬港においては、この期間の波浪観測記録が得られている。これを用いて代表的な例について災害時の波浪の経過に検討を加え、同時に天気図(気象庁発行夕時・21時)を用いて風域図を作り浪源が移動する場合の波浪推算をWilson法により試みてみた。

a) 台風および低気圧が単独に通過する場合 昭和38年3月、39年1月(低気圧)、昭和38年10月、40年10月(台風)に見られたものであり、一般に周期と波高の増加が同時に現われながらかな平行線をたどりながら、それで10~15sec、および20~30secのピークに達す。その後周期は減少することなく長時間にわたり長周期の波が継続するが、波高は移動風域の離遠と共に減衰傾向をとり、1~2日(低気圧)から3日(台風)位経て1m未溝に減衰する。浪源が東方洋上遠く、かつ南東の台風でみられるように遅い速度で進行する時は周期の増大が波高の増大よりもかなり先立っている。また浪源が遠ざかるにもかかわらず、顕著な周期の増減は認められなかった。比較的近海を低気圧が前線を伴って通るとさは、相馬、小名浜の観測値に明確な時間差が現われることが認められた。

b) 低気圧が相次いで通過する場合 昭和39年3月には始めの低気圧が発達しながら東進し160°E附近において、吹送距離Fは1500kmから2000kmに、減衰距離Dは600kmから1000kmに、また風域の幅Wは600kmから1000kmに達した。(図-2参照)その頃すでに次の低気圧が沿岸東方約600kmに現われ、先の低気圧を追跡する形で東進した。この時の、観測値の経過曲線は小名浜と相馬にて時間差がなく相似な傾向を呈していた。即ち周期10sec(波高0.3m)のうねりより始まり、先駆低気圧による減衰波

図-1 低気圧・台風の経路図

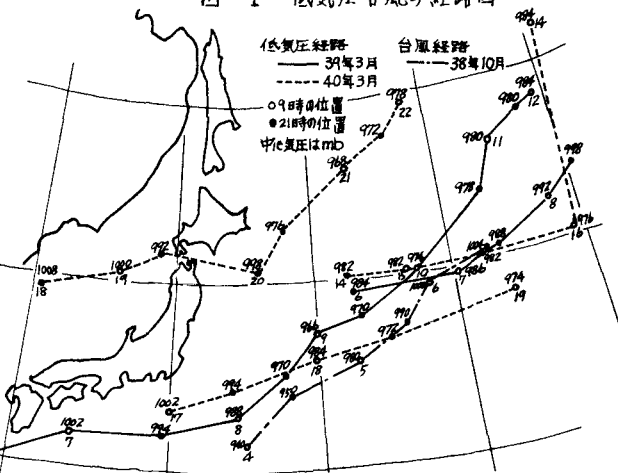
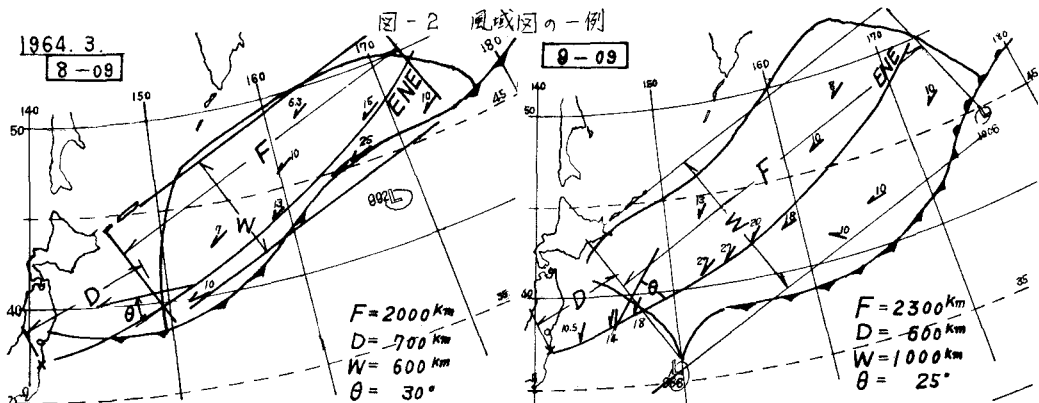


図-2 風域図の一例



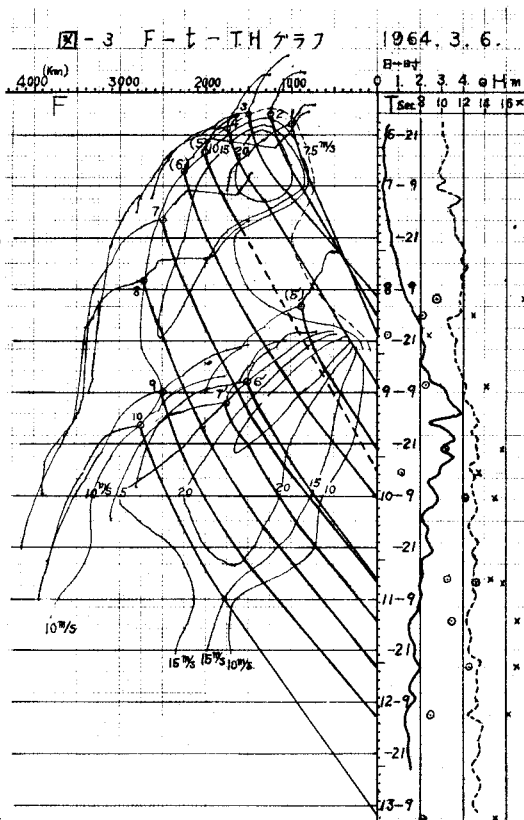
浪の到達によって次第に波高を増し、後続した低気圧の通過後に後一般と波高及び、周期を増してこのケースでピークである 29m、13.8sec を記録した。図-3 はこの場合の Wilson 法による F-t-TH グラフである。

まず、先駆低気圧から発する初期のうねりは観測値の波高の始めの山と、ほぼ合致している。ついで到達するうねりは後続低気圧による風域で加速されエネルギーを増して推算点に現われ、観測値のピーク域に達している。図には、先駆浪源よりのうねりの上、さらに後続低気圧による推算を加えた場合(6)、と後続風域のみによって推算した(5)' の場合を併記してある。(5)' の推算ではかくもよう後続低気圧のみによる波の値は 30m、4.7m と大きく、先駆風域よりの推算である(6) の値は観測値より相当大きい波高を与える。一方先駆風域のみによるうねりの減衰値(5) は周期は同じ程度であるが、小さな波高とあっていふ。風域の作成および風速の算定に際して過大な傾向になつたようであるが、観測値のピークと推算における風域の集中は一致して良く現象を説明している。なお、この部分における観測値波高の変動が著しく、極端な凹凸を示すことは注目すべき現象と思われる。

C) 連続する低気圧による異方向風域による場合 昭和 40 年 3 月 先駆低気圧が北海道東方洋上約 2000km で停滞しながら発達し NNE の長大な風域を作った後、関東沖を別の低気圧が急激に発達して東進した場合で、ENE 方向の新しくな風域を形成した。これによって、18 日から 19 日にわたる東よりの減衰過程を経たうねりと、近海の発達しつつある強勢な波とが異方向から来襲した場合である。この場合においても(6) と同じく二種の波が集中した時刻には観測波高値の上に不規則な変動を認めている。なお、ピーク時である 18 日 15 時前後には周期および波高のほぼ等しい二方向から波が集中しており、沿岸冲合においては三角波やビーティングが起つたことが考えられる。

#### 4. 結論

東北地方の太平洋岸は、ほぼ南北に走っており、岩手、福島の海岸線が大きな弧状を描いて太平洋に突出している。この差太平洋の南西部を除いてあらゆる地域の浪源に対面しており、吹送距離は無限の長さと考えられる。一方本地域が東面している北太平洋における波は前記のごとく冬期の平均波高が大きく、かつ低気圧の通路に伴って西から張出する高気圧との間で西高東低の地衡風帯を設け因時に示したような風域を作る時は、この区域の波のエネルギーは本州東岸一帯に向って来襲することになる。この東南東以西は海岸線が南面し、また浪源からも離れていてその影響を受けることの少な



いのとは対象的である。また浪源の規模が次第に発達しながら進行し、吹送距離および吹送時間も増大していく事も大きな特徴である。

今回の調査で水位の資料を解析したところ、小名浜測候所の記録では特に災害時と結び付く潮位上昇の資料は得られなかつたが、(偏差量はほぼ20~30cm程度、10cm未満のこともある)これは同測候所が港湾施設内のもので沿岸条件と異なるためと思われる。唯一の災害時の外海潮位資料として昭和31年3月5日から17日にリシャール検潮儀によって松川浦において平均偏差量50cm、最高80cmに達する記録上の“脈動”を見出し、これがうねりの浪源と関係があるかも知れないことを佐藤氏が示している<sup>2)</sup>。もとより沿岸にうねりが来襲することによって生ずる数分程度のサーフビードや風の吹寄せとともに水位上昇は考慮されるものであるが、このような長周期の上昇のみでは現地に見られぬような災害の諸例と関係づけることはできない。又およびの)に示したように当地に大きな災害をもたらした気象条件では、ほとんどの場合沿岸附近の低気圧による勢力の強い浪の出現をもたらす風域が存在している。また沿岸における風についてみると、強勢な波の出現時はN、NNEより8~10%の風が継続することが多いようである。なかんづくの場合には5日12時から9日12時かけて最大17%のNNEの海風が吹いて海象条件を厳しいものにしている。当地方の沿岸は1/40~1/60の勾配の大陸棚によって深海から沿岸に導かれており、水深5m~6m前後のところから1/40~1/60の急勾配になって陸岸に達している。従って、周期10sec~14sec、波高3m~4mの高波は距岸約400, 500mのこの附近から碎波してSurfzoneを形成し次第にエネルギーを失いつながら進行する。もし護岸等の構造物の前方水深が大きければそれだけエネルギーの減衰の少ない波が来襲することになり、またその水深に見合った未碎波の波高も大きいものになる。今回の調査で災害状況を分類すると、基礎の洗堀によって前傾倒壊したもの、越波によって裏込土砂が陥没し転倒したもの、及び碎波の波力により弱点から破堤したもの、その他海浜の欠滙巻内の埋没草種や雜多な現象がみられた。<sup>災害</sup>としてまた被災時の各地の潮時が大潮差90cmの当地に於て、漲潮、満潮、落潮、干潮のあらゆる刻限<sup>に</sup>生じているという事実によつても<sup>3)</sup>現象の複雑な事が察知される。当海岸の地質構造が泥岩及び段丘疊層の互層からなるもろい海蝕崖と幅の狭い冲積層の砂礫海岸である事も、古中生層の地盤の硬い三陸沿岸及び砂浜のよく発達した仙台湾、青森海岸と状況を異なるものにしていると考えられる。

本調査は昭和41年度文部省科学研究費(特定研究)「高潮とその災害防除に関する総合的研究」(代表者、井島武士)によって行ったものである。なお貴重な資料を提供していただいた気象台、福島県土木部各事務所の方々に謝意を表す。

### 参考文献

1. 井島川上 日本沿岸の海岸保全の為の自然条件及び天端高算 オフ回海岸工学講演集, 1962. 10.
2. 福島測候所・県土木部・福島沿岸のいわゆる高潮について 1958. 5.
3. 坂本・井島・木村 太平洋岸の台風による波の特性とその推定法 オフ回海岸工学講演集, 1961. 9.
4. 宇野木早苗 日本沿岸の気象潮と波浪の大きさ オフ回海岸工学講演集, 1960. 11.
5. 本間・佐川・長谷 海岸護岸に働く全波力に関する実験的研究 オフ回海岸工学講演集, 1964. 11.
6. 岩崎・沼田・長谷 福島県沿岸におけるいわゆる高潮災害について 東北支部技術研究発表会, 1962. 2.